

Рис. 2.

сигнала ошибки равна 2Ω , где Ω — частота подмодуляции. При работе на высших четных гармониках точность автоподстройки повышается при допустимых уровнях шума в сигнале.

На рис. 1 показана схема одной из возможных реализаций оптического дискриминатора допплеровского сдвига частоты с автоматической привязкой рабочей точки к линейному участку дискриминационной характеристики. В этом устройстве линейно-поляризованный луч одночастотного стабилизированного по мощности лазера 1 после прохождения полуволновой фазовой

пластиинки 2 направляется в двухлучевой поляризационный интерферометр, в котором призма 3 служит расщепителем, сигнальное плечо образовано объективом 4, исследуемым объектом, в качестве которого выбран, например, рассеивающий врачающийся диск 5 с тахогенератором 6 на оси, и объективом 7. Рекомбинационным элементом, пространственно совмещающим сигнальный рассеянный и опорный пучки, является призма Ропона 8. Пучки, выходящие из интерферометра, объективом 9 через апертурную диафрагму 10 направляются в конфокальный ИФПС 11, работающий в режиме дискриминатора допплеровского сдвига частоты. Одно из зеркал ИФПС закреплено на пьезокерамической шайбе 12. Сигнальный и опорный пучки после прохождения ИФПС пространственно разделяются по ортогональным поляризациям призмой Волластона 13 и направляются на соответствующие фотоприемники 15 и 17 с полевыми диафрагмами 14 и 16. При работе с трехмерными рассеивающими средами в сигнальном плече поляризационного интерферометра устанавливается фильтр низких пространственных частот.

В данном устройстве привязка дискриминационной характеристики к частоте излучения лазера осуществляется системой экстремального управления. Эта система, в основном аналогичная описанной в [1], содержит вспомогательный генератор 22, фазовращатель 23, резонансный усилитель 18, фазовый детектор 19, интегратор 20 и усилитель 21. Отличие заключается во введении дополнительного блока деления частоты 24. Делитель 24 уменьшает вдвое частоту модулирующего сигнала, поступающего с выхода генератора 22 на пьезокерамическую шайбу 12. Резонансный усилитель 18 настроен на частоту сигнала генератора 22.

На рис. 2 приведены сигналы с выхода оптического дискриминатора (вверху) и для сравнения с выходом тахогенератора (внизу) (масштаб: по оси ординат 1,56 МГц на клетку, по оси абсцисс 150 с на клетку). Фотография, сделанная с экрана двухлучевого осциллографа, иллюстрирует возможность получения информации о девиации допплеровского сдвига частоты в реальном масштабе времени. Технические параметры экспериментальной установки аналогичны параметрам устройства, описанным в [1, 2]. (Радиус кривизны зеркал конфокального ИФПС 200 мм, полоса пропускания экстремальной системы автоподстройки 400 Гц, частота сигнала с выхода генератора $22 \Omega/2\pi = 10$ кГц.)

ЛИТЕРАТУРА

1. Белоусов П. Я., Дубнищев Ю. Н., Павлов В. А. Измеритель скорости с оптическим дискриминатором допплеровской частоты.— Опт. и спектр., 1977, т. 43, с. 775.
2. Belowsov P. Ya., Dubnitshev Yu. N. The Application of an Optical Doppler Frequency Discriminator in Laser Velocimeter.— Opt. and Laser Techn., 1977, N 5, p. 229.

*Поступило в редакцию 23 марта 1979 г.;
окончательный вариант — 26 января 1980 г.*

УДК 621.373.826 : 621.376

В. М. МАСТИХИН, д. в. ШЕЛОПУТ
(Новосибирск)

МОДУЛЯТОР-РАСПЩЕПИТЕЛЬ НА КРС-5

Применение лазеров для измерения скоростей выделилось в самостоятельную область — лазерную допплеровскую локацию. В основе метода — определение допплеровского сдвига частоты в свете, рассеянном примесными частицами в потоке. Выделение допплеровского сдвига в рассеянном световом пучке осуществляется

методом оптического гетеродинирования опорного и рассеянного пучков или двух рассеянных. Деление пучков и сдвиг частоты можно осуществлять при помощи акустооптических элементов. Универсальность акустооптических устройств позволяет в одной ячейке совместить расщепление и сдвиг частоты одного из пучков. Кроме того, применение двухкоординатной ячейки дает возможность одновременно измерять величины и направление двух ортогональных компонентов вектора скорости. Угол расщепления и величина сдвига частоты определяются скоростью ультразвука в материале светозвукопровода.

Оптическая схема лазерного допплеровского измерителя скорости (ЛДИС) ограничивает снизу угол расщепления величиной порядка одного градуса. В то же время ограниченные полосы современных фотоприемников и электронных систем не позволяют повышать рабочие частоты.

Для заданных длии волн света ($0,63 \text{ мкм}$) пригодными оказываются материалы, скорость ультразвука в которых ограничена величиной $\sim 10^3 \text{ м/с}$. К их числу относятся монокристаллы парателлурита [1], бромида — иодида таллия (КРС-5) [2] и многие жидкости.

Жидкости, хотя и являются самыми доступными и дешевыми, обладают рядом существенных недостатков, которые ограничивают их практическое использование. Монокристаллы парателлурита дороги и не освоены в промышленном производстве.

В предлагаемой работе предпочтение отдается двухкоординатной ячейке на монокристалле КРС-5. Монокристаллы КРС-5 обладают высокой акустооптической добротностью, умеренным поглощением и малой скоростью ультразвука. Они выпускаются серийно промышленностью. В видимой же области спектра качество этих кристаллов для недавнего времени не отвечало требованиям, предъявляемым к модуляторам-расщепителям для ЛДИС из-за внутренних напряжений, являющихся результатом неоднородного распределения состава. Вызываемые этим оптические неоднородности оказалось возможным устранить дополнительной термообработкой.

При изготовлении светозвукопроводов акустооптических устройств из кристаллов КРС-5 особое внимание следует обращать на контроль однородности кристалла в поляризованном свете. Некоторые образцы, имеющие удовлетворительные характеристики по пропусканию ($50\text{--}65\%$ для $\lambda=0,63 \text{ мкм}$) и пределу оптического разрешения ($1,1\text{--}1,3$ отн. ед.), оказывались непригодными из-за неоднородности в поляризованном свете. Микроскопические исследования таких образцов показали наличие ячеистой структуры с локальным изменением показателя преломления до 10^{-2} мм^{-1} .

Блочность кристаллов термообработкой устранить не удается. Поэтому для получения однородных образцов необходимо вырезать их из монокристаллических макроблоков. Кристаллы КРС-5 обладают явно выраженной анизотропией механических свойств. Микротвердость у них максимальна для направлений [100] и последовательно уменьшается для [110] и [111]. В связи с этим оптическое качество (пропускание, разрешение, однородность) поверхностей (100) существенно лучше, что необходимо учитывать при изготовлении светозвукопроводов для акустооптических устройств.

В нашем случае все рабочие грани светозвукопровода были ориентированы по (100), что позволяет использовать максимальное значение акустооптической добротности $\sim 1200 \cdot 10^{-18} \text{ с}^3/\text{г}$. Свет при этом должен распространяться в направлении [001]. Пропускание света ($\lambda=0,63 \text{ мкм}$) для образца размером $15 \times 15 \times 10 \text{ мм}^3$ — 54 %, разрешение — 1,1. После нанесения просветляющей пленки MgF_2 пропускание кристалла составляло 78 %.

На две смежные торцовые грани образца для получения электрического контакта была нанесена пленка Al с подслоем Cr. Пленка Cr толщиной $0,1 \text{ мкм}$ нанесена для улучшения адгезии пленки Al, а также для защиты ее от КРС-5.

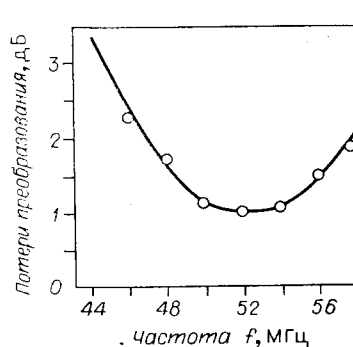


Рис. 1.

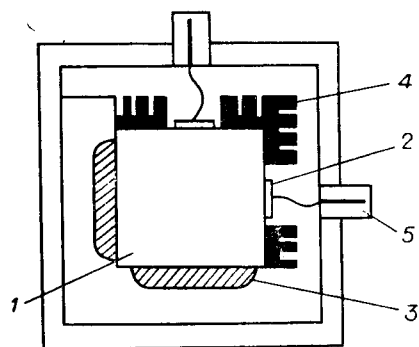


Рис. 2.

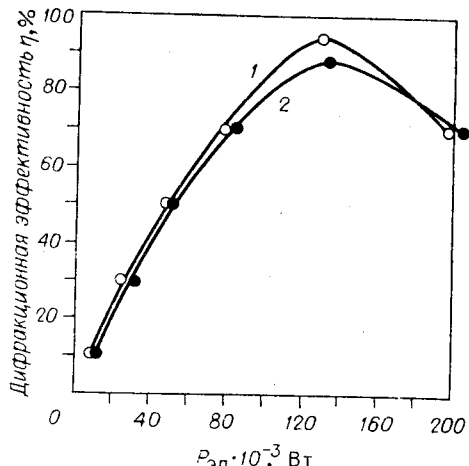


Рис. 3.

вает достаточно эффективный теплоотвод (рис. 2: 1 — кристалл, 2 — преобразователь, 3 — поглотитель, 4 — радиатор, 5 — ВЧ-разъем).

Одним из важнейших параметров, характеризующих работу акустооптического устройства, является уровень электрической мощности, необходимой для получения заданной дифракционной эффективности. На рис. 3 приведены зависимости отношения дифракционной эффективности $\eta = I_1/I_0 = F(P_{\text{ак}})$ и экспериментальной $\eta = F(P_{\text{эл}})$ можно оценить потери в слое эпоксидной смолы. (Здесь $P_{\text{ак}}$ — мощность ультразвука в кристалле, $P_{\text{эл}}$ — подводимая электрическая мощность.)

Поглотители из эпоксидной смолы с наполнителем обеспечивают уровень отраженной волны более чем на 30 дБ ниже мощности падающей волны. Для обеспечения стабильной работы ячейки в непрерывном режиме вся свободная от преобразователей поверхность звуковых граней покрыта радиаторами. Металлические радиаторы закреплены с кристаллом теплопроводящим клеем. Эта система обеспечивает достаточно эффективный теплоотвод (рис. 2: 1 — кристалл, 2 — преобразователь, 3 — поглотитель, 4 — радиатор, 5 — ВЧ-разъем).

При подаче на вход устройства управляющих электрических сигналов оптический луч расщепляется на несколько лучей, из которых рабочие лучи (I_0, I_x, I_y) имеют одинаковую интенсивность при выполнении условий

$$I_x = I_0 \text{ при } I_y = 0,$$

$$I_y = I_0 \text{ при } I_x = 0.$$

В этом режиме эффекты искажения формы отклоненного луча в результате тепловых воздействий отсутствуют.

Максимальное значение дифракционной эффективности в непрерывном режиме (см. рис. 3, кривая 2), равное 88%, получено при потребляемой электрической мощности 130 мВт. Эти параметры обусловлены тем, что в качестве светозвукопровода используется кристалл КРС-5 с акустооптической добротностью $M_2 = 1200 \cdot 10^{-18} \text{ см}^3/\text{г}$.

Дальнейшее снижение управляющей электрической мощности возможно при использовании более эффективной технологии получения акустических связок между пьезо преобразователем и светозвукопроводом. Двухкоординатная ячейка модулятора-расщепителя прошла полный цикл испытаний в макете ЛДИСа. Результаты испытаний позволяют сделать вывод о применимости кристаллов КРС-5 в качестве светозвукопроводов акустооптических ячеек лазерных допплеровских измерителей скорости.

ЛИТЕРАТУРА

1. Omachi Y., Uchida N., Niizeki N. Acoustic Wave Propagation in TeO_2 Single Crystals.— J. Acoust. Soc. Am., 1972, vol 51, p. 164—168.
2. Мастихин В. М. и др. Акустические характеристики монокристалла КРС-5.— ОМП, 1977, № 8, с. 36.

Поступило в редакцию 22 июня 1977 г.;
окончательный вариант — 22 января 1980 г.